

ИЗЛУЧЕНИЕ СВЧ-ЭНЕРГИИ ЧЕРЕЗ СТЕНКУ ВОЛНОВОДА, ТОЛЩИНА КОТОРОЙ СРАВНИМА С ГЛУБИНОЙ СКИН-СЛОЯ

В. Б. Белявцев, В. С. Жилков

Харьков

Известен ряд теоретических и экспериментальных работ, посвященных исследованию поведения электромагнитного поля в скин-слое металлических стенок линии передачи. Большое внимание уделяется практи-

ческой стороне данного вопроса; в частности, имеются сообщения о создании СВЧ-устройств, работающих на эффекте излучения электромагнитных волн через стенку волновода, толщина которой соизмерима с глубиной проникновения поля в металл [1, 2]. Однако в этих работах не рассматривалась задача об излучении СВЧ-энергии в свободное пространство, решение которой также может найти приложение в технике СВЧ.

В данной статье рассматриваются особенности излучения электромагнитного поля через стенку прямоугольного волновода, толщина которой сравнима с глубиной скин-слоя.

Постановка задачи

Рассмотрим отрезок прямоугольного волновода, в котором участок широкой стенки длиной L заменен тонкой полоской металла, толщина которой d сравнима с глубиной скин-слоя (рис. 1). Будем считать, что

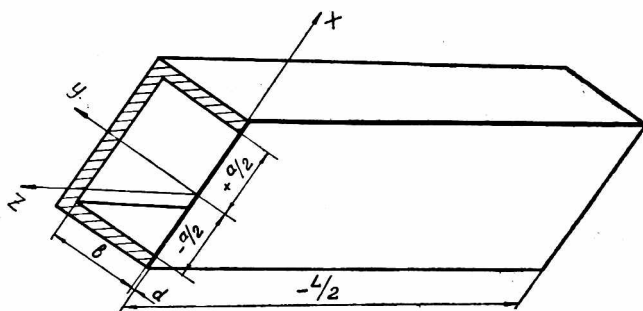


Рис. 1. Отрезок волновода с тонкой стенкой.

по линии передачи распространяется основной вид колебаний и затухание волны H_{10} на участке с внесенной неоднородностью (полоской металла), а также отражение от нее пренебрежимо малы.

В выбранной системе координат компоненты поля в волноводе запишутся в виде

$$E_y = E_m \cos\left(\frac{\pi}{a} x\right) e^{i(\omega t - \beta z)},$$

$$H_x = -E_m \cdot \frac{\beta}{\mu_1 \mu_0 \omega} \cdot \cos\left(\frac{\pi}{a} x\right) e^{i(\omega t - \beta z)};$$

$$H_z = -i E_m \frac{\pi}{\mu_1 \mu_0 \omega a} \cdot \sin\left(\frac{\pi}{a} x\right) e^{i(\omega t - \beta z)},$$

где E_m — амплитуда электрического поля;

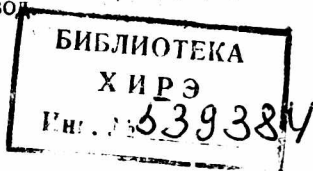
$\beta = \frac{2\pi}{\lambda_g}$ — фазовая постоянная;

λ_g — длина волны в волноводе;

ω — циклическая частота;

μ_0 — магнитная проницаемость вакуума;

μ_1 — относительная магнитная проницаемость изотропного диэлектрика, заполняющего волновод.



При распространении электромагнитной энергии вдоль волновода по его стенкам протекают токи, плотность которых зависит, в частности, от глубины скин-слоя, определяемой известным выражением

$$\delta = \sqrt{\frac{2}{\omega \mu_M \mu_0 \sigma_M}},$$

где μ_M , σ_M — относительная магнитная проницаемость и проводимость стенок волновода.

На участке $\left[-\frac{L}{2}, +\frac{L}{2}\right]$, где $d \simeq \delta$, токи текут по внешней поверхности стенки линии передачи, следовательно, имеем эффект излучения СВЧ энергии. Определим электромагнитное поле в свободном пространстве.

Поле излучения

Источником электромагнитного поля является элемент поверхности широкой стенки волновода площадью $a \times L$. Рассматривая тонкую стенку волновода как излучатель, можно записать компоненты векторов электромагнитного поля в дальней зоне в виде [3]

$$\begin{aligned} E_\theta &= -\frac{i}{2\lambda} \sqrt{\frac{\mu_M \mu_0}{\epsilon \epsilon_0}} N_x \frac{e^{-ikr}}{r} (1 + \cos \theta) \cos \varphi; \\ E_\varphi &= \frac{i}{2\lambda} \sqrt{\frac{\mu_M \mu_0}{\epsilon \epsilon_0}} N_x \frac{e^{-ikr}}{r} (1 + \cos \theta) \sin \varphi, \end{aligned} \quad (1)$$

где ϵ , μ — относительные диэлектрическая и магнитная проницаемости воздуха;

$k = \frac{2\pi}{\lambda}$ — волновое число;

λ — длина волны в свободном пространстве;

θ , φ — углы сферической системы координат, отсчитываемые от осей z и x соответственно;

r — расстояние от начала координат до рассматриваемой точки;

N_x — проекция магнитного вектора излучения на направление x ;

$$N_x = \int_{-\frac{a}{2}}^{+\frac{a}{2}} \int_{-\frac{L}{2}}^{+\frac{L}{2}} J(x, z) \cos \left(xk \sin \theta \cos \varphi + zk \cos \theta + \frac{ka}{2} \sin \theta \cos \varphi \right) dx dz; \quad (2)$$

$J(x, z)$ — плотность электрического поверхностного тока на внешней стороне излучающей стенки.

Согласно [4], решение уравнений Максвелла для векторов электрического и магнитного поля в металле записывается следующим образом:

$$\begin{aligned} \vec{H}_M &= \vec{H}_\parallel \cdot e^{(1-i)\frac{y}{\delta}}; \\ \vec{E}_M &= \frac{\epsilon}{\epsilon_M} \vec{E}_\perp \cdot e^{(1-i)\frac{y}{\delta}}, \end{aligned}$$

где \vec{H}_\parallel — вектор магнитного поля, компоненты которого тангенциальны широкой стенке волновода;

\vec{E}_\perp — вектор электрического поля, компоненты которого нормальны металлу.

Векторы \vec{H}_M и \vec{E}_M характеризуют поле в стенке достаточно большой толщины, т. е. при $d \gg \delta$. Однако, если толщина стенки волновода

сравнима с величиной скин-слоя, на границе раздела двух сред (металл — воздух) необходимо учитывать отраженную волну [1]. Суммарное электрическое поле в металле

$$\vec{E}_m = \frac{\varepsilon}{\varepsilon_m} \vec{E}_\perp \left(1 + \Gamma_d e^{-2d \frac{1-i}{\delta}} e^{-2y \frac{1-i}{\delta}} \right) e^{y \frac{1-i}{\delta}},$$

где Γ_d — коэффициент отражения на границе металл — воздух.

Используя материальное уравнение, находим плотность тока на внешней поверхности металлической полоски (т. е. при $y = -d$):

$$J(x, z) = \sigma_m E_m = \sigma_m E'_m \cos \frac{d}{\delta} e^{-\frac{d}{\delta}} \cos \left(\frac{\pi}{a} x \right).$$

Тогда, подставляя значение $J(x, z)$ в (2) и интегрируя по площади излучающего участка, получим выражение проекции магнитного вектора излучения на направление x :

$$N_x = \frac{4\pi\sigma_m E'_m L}{a} \cdot \cos \frac{d}{\delta} e^{-\frac{d}{\delta}} \frac{\sin \left(\frac{kL}{2} \cos \theta \right)}{\frac{kL}{2} \cos \theta} \cdot \frac{\cos^2 \left(\frac{ka}{2} \sin \theta \cos \varphi \right)}{\frac{\pi^2}{a^2} - k^2 \sin^2 \theta \cos^2 \varphi}.$$

Величина N_x является определяющей при анализе компонент электромагнитного поля в дальней зоне. Исследуя аналогично [3] (1) в плоскостях xoz и zoy , получаем выражение для диаграммы направленности излучающего участка широкой стенки волновода:

$$E(\theta) = E_0 \cos \frac{d}{\delta} e^{-\frac{d}{\delta}} B \cdot \frac{\sin \left(\frac{kL}{2} \cos \theta \right)}{\frac{kL}{2} \cos \theta} \cdot (1 + \cos \theta),$$

где

$$\text{при } \varphi = 0 \quad B = \frac{\cos^2 \left(\frac{ka}{2} \sin \theta \right)}{\frac{\pi^2}{a^2} - k^2 \sin^2 \theta};$$

$$\text{при } \varphi = \frac{\pi}{2} \quad B = \frac{a^2}{\pi^2}.$$

На первый взгляд кажется, что функция $E(\theta)$ возрастает до бесконечности при $\sin^2 \theta = \frac{\pi^2}{a^2 k^2}$, — это необъяснимо с физической точки зрения. Однако предельные значения напряженности поля в указанной точке имеют конечную величину, в чем нетрудно убедиться, преобразовав множитель B к виду $\left(\frac{\sin x}{x} + \frac{\sin y}{y} \right)$.

На рис. 2а; 2б приведены графики диаграмм направленности в главных плоскостях, т. е. при $\varphi = 0$ и $\varphi = \frac{\pi}{2}$ соответственно. Уменьшение электромагнитного поля в дальней зоне с увеличением отношения $\frac{d}{\delta}$ не требует дополнительных объяснений.

Практический интерес представляет определение закона изменения электромагнитного поля в дальней зоне в направлении, параллельном

линии передачи (т. е. вдоль оси z). Переходя к прямоугольной системе координат и полагая для простоты $x = 0$, $-y = R$, получим

$$E = E_0 \cos \frac{d}{\delta} e^{-\frac{d}{\delta} \cdot \frac{\sin kr}{r}} \cdot \frac{a^2}{\pi^2} \cdot \frac{\sin\left(\frac{kL}{2} \frac{z}{r}\right)}{\frac{kL}{2} \frac{z}{r}} \cdot \left(1 + \frac{z}{r}\right),$$

где $r = \sqrt{R^2 + z^2}$.

Анализ последнего выражения показывает, что при соответствующем выборе параметров R и L амплитудное распределение E -компоненты

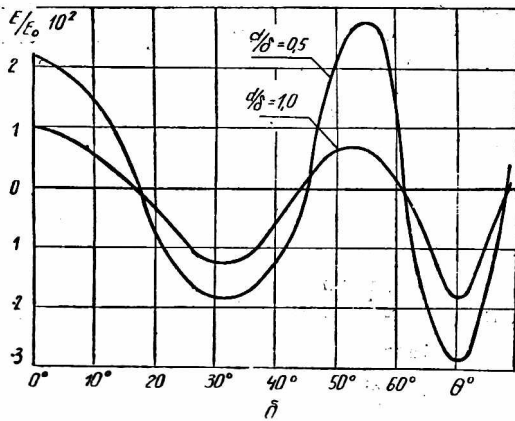
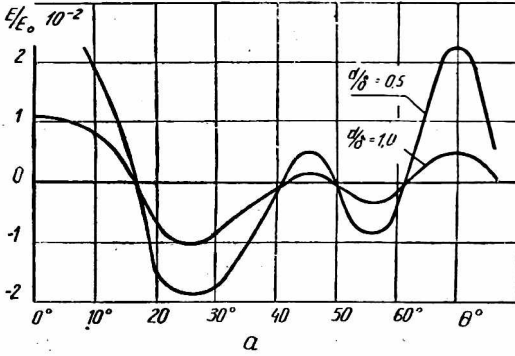


Рис. 2. Диаграммы направленности в главных плоскостях
($a \times b = 23 \times 10$ мм²; $f = 10$ Гц): а — при $\varphi = 0$; б — при $\varphi = \frac{\pi}{2}$.

электромагнитного поля в свободном пространстве взаимосвязано с указанным распределением внутри волноводной линии передачи.

В случае рассогласования волноводного тракта распределение электрического поля вдоль линии передачи, согласно [5], определяется выражением

$$E_y = E_m \cos\left(\frac{\pi}{a} x\right) \left(1 + \right.$$

$$\left. + |\Gamma_H|^2 - 2|\Gamma_H| \cos 2\beta z'\right)^{\frac{1}{2}},$$

где $|\Gamma_H|$ — модуль коэффициента отражения от нагрузки;

z' — расстояние от ближайшего минимума стоячей волны до рассматриваемой точки.

Интегрируя приближенно в пределах от $-\frac{a}{2}$ до $+\frac{a}{2}$ и от z' до $z' + L$, получим проекцию магнитного вектора излучения на направление x ,

$$N_x = \frac{2\pi^2 E_m'}{a} \cdot \cos \frac{d}{\delta} e^{-\frac{d}{\delta}} \cdot \frac{\cos \alpha}{\pi^2 \frac{x^2}{a^2} - k^2 \frac{z^2}{r^2}} \cdot \frac{L}{n} \times$$

$$\times \left\{ \frac{1}{2} \left[\left(1 + |\Gamma_H|^2 - 2|\Gamma_H| \cos 2\beta z'\right)^{\frac{1}{2}} \cos\left(z' k \frac{z}{r} + \alpha\right) + \right. \right.$$

$$\left. \left. + \left(1 + |\Gamma_H|^2 - 2|\Gamma_H| \cos 2\beta (z' + L)\right)^{\frac{1}{2}} \cos\left((z' + L) k \frac{z}{r} + \alpha\right) \right] + \right.$$

$$\left. + \sum_{m=1}^{m=n-1} \left(1 + |\Gamma_H|^2 - 2|\Gamma_H| \cos 2\beta \left(z' + \frac{mL}{n}\right)\right)^{\frac{1}{2}} \cos\left(\left(z' + \frac{mL}{n}\right) k \frac{z}{r} + \alpha\right) \right\}.$$

Здесь $\alpha = \frac{ka}{2} \cdot \frac{x}{r}$.

Электрическое поле свободного пространства при $z' = 0$

$$E = E_0 \frac{\sin kr}{r} \cdot \cos \frac{d}{\delta} e^{-\frac{d}{\delta}} \cdot \frac{a^2}{\pi^2} \cdot \frac{L}{n} \cdot \left(1 + \frac{z}{r}\right) \times$$

$$\times \left\{ \frac{1}{2} \left[1 - |\Gamma_n| + (1 + |\Gamma_n|^2 - 2|\Gamma_n| \cos 2\beta L)^{\frac{1}{2}} \cos \left(Lk \frac{z}{r} \right) \right] + \right.$$

$$\left. + \sum_{m=1}^{m=n-1} \left(1 + |\Gamma_n|^2 - 2|\Gamma_n| \cos 2\beta \frac{mL}{n} \right)^{\frac{1}{2}} \cos \left(\frac{mL}{n} k \cdot \frac{z}{r} \right) \right\}$$

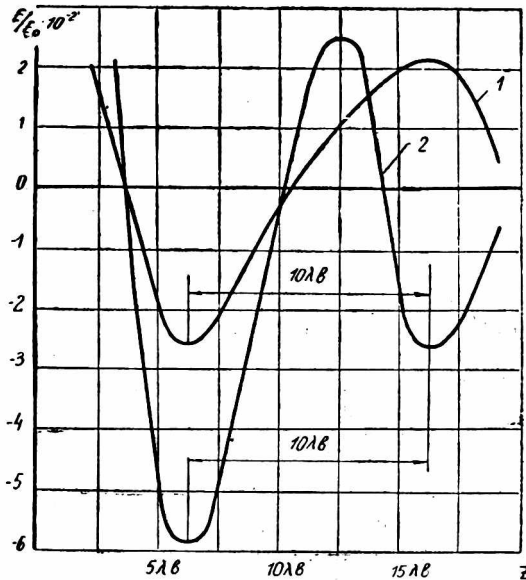


Рис. 3. Изменение поля в дальней зоне вдоль координаты z
 ($a \times b = 23 \times 10 \text{ мм}^2$; $f = 10 \text{ Гц}$):
 1 — в случае идеального согласования;
 2 — при $|\Gamma_n| = 0.3$.

График рис. 3 иллюстрирует возможность определения коэффициента отражения и длины волны при несогласованной линии на основе изучения закономерностей излучения через отрезок линии, толщина стенки которого сравнима с глубиной скин-слоя.

ЛИТЕРАТУРА

1. Maurice B. Hall, and William E. Little. A Directional Coupler with a Readily Calculable Coupling Ratio. IEEE Trans. Microwave Theory and Techn., vol. MTT-15, no 11, November 1967.
2. Ronde F. C. A universal wall-current detector. IEEE Trans. Microwave Theory and Techn. 1964. 12, N 1, 112—117.
3. Л. Д. Гольдштейн, Н. В. Зернов. Электромагнитные поля и волны. Изд-во «Советское радио», 1956.
4. Джексон Дж. Классическая электродинамика. Изд-во «Мир», 1965.
5. Измерения на сверхвысоких частотах. Пер. с англ. под ред. В. Б. Штейншлейгера. Гостехиздат, 1952.